

การออกแบบวงจรอ้างอิงแรงดันแบบซีมอส  
Design of CMOS Voltage Reference Circuit  
อติราช สุขสวัสดิ์<sup>1\*</sup> วรวัฒน์ เสงี่ยมวิบูล<sup>2</sup> และ เศรษฐ หงษ์ประสิทธิ์<sup>3</sup>

<sup>1</sup>นักศึกษา <sup>2</sup>ผู้ช่วยศาสตราจารย์ สาขาวิศวกรรมไฟฟ้าและคอมพิวเตอร์ คณะวิศวกรรมศาสตร์ มหาวิทยาลัยมหาสารคาม  
จังหวัดมหาสารคาม 44150

<sup>3</sup>อาจารย์ สาขาวิศวกรรมคอมพิวเตอร์ คณะวิศวกรรมศาสตร์ มหาวิทยาลัยเทคโนโลยีราชมงคลธัญบุรี จังหวัดขอนแก่น 40000

### บทคัดย่อ

บทความนี้นำเสนอการออกแบบวงจรอ้างอิงแรงดันแบบซีมอส ซึ่งถูกนำไปใช้งานกับวงจรอิเล็กทรอนิกส์อย่างกว้างขวาง ทั้งวงจรทางด้านแอนะล็อกและดิจิทัล การออกแบบวงจรอ้างอิงแรงดันแบบซีมอสที่นำเสนอในอดีตนั้นมีการทำงานที่ซับซ้อนและประกอบด้วยอุปกรณ์ค่อนข้างมาก ไม่สามารถปรับระดับแรงดันอ้างอิงที่เอาต์พุตได้ ดังนั้นในงานวิจัยนี้ได้นำเสนอการออกแบบวงจรอ้างอิงแรงดันแบบซีมอส โดยอาศัยเทคนิคการรวมกระแสแบบใหม่ ทำให้สามารถลดจำนวนอุปกรณ์ในวงจรได้ อีกทั้งยังสามารถทำงานได้โดยไม่ต้องอาศัยวงจรสตาร์ทอัพที่มีความซับซ้อน ผลการจำลองการทำงานด้วยโปรแกรม PSPICE ยืนยันได้ว่า วงจรที่นำเสนอสามารถทำงานได้อย่างมีประสิทธิภาพที่แรงดันไฟเลี้ยง 2V ถึง 4V ระดับแรงดันอ้างอิง  $231\pm 2\text{mV}$  ค่าสัมประสิทธิ์อุณหภูมิ  $37.65\text{ ppm}/^\circ\text{C}$  ที่ช่วงอุณหภูมิทดสอบอยู่ระหว่าง  $-80^\circ\text{C}$  ถึง  $120^\circ\text{C}$  มีอัตราการสิ้นเปลืองกำลังงานเพียง  $7.37\text{ }\mu\text{W}$

### Abstract

This paper presents a CMOS voltage reference design, which is widely used in electronic circuits, both analog and digital circuits. In the conventional, a CMOS voltage reference circuit design composed of several MOS transistors and complicated circuits, the output voltage cannot be adjusted to any levels. Therefore, in this paper proposed the CMOS voltage reference circuit design technique based on a new current combination circuit, which it was reduced number of MOS transistors and the proposed circuit is able to operate without complex startup circuit. The performance of the proposed circuit is confirmed through PSPICE simulation results, the circuit can be operated with supply voltage varies from 2V to 4V, the output voltage reference is about  $231\pm 2\text{mV}$  at wide temperature range of  $-80^\circ\text{C}$  to  $120^\circ\text{C}$ , it has very low temperature coefficient of about  $37.65\text{ ppm}/^\circ\text{C}$  and a total power dissipation of  $7.37\text{ }\mu\text{W}$

**คำสำคัญ** : ค่าสัมประสิทธิ์อุณหภูมิ วงจรอ้างอิงแรงดันแบบซีมอส สัมประสิทธิ์เป็นลบต่ออุณหภูมิ สัมประสิทธิ์เป็นบวกต่ออุณหภูมิ

**Keywords** : Temperature Coefficient, CMOS voltage reference Circuit, Complementary to absolute temperature, Proportional to absolute temperature

\*ผู้นิพนธ์ประสานงานไปรษณีย์อิเล็กทรอนิกส์ [atiratsuk@hotmail.com](mailto:atiratsuk@hotmail.com) โทร. 08 1729 4989

## 1. บทนำ

ในปัจจุบันวงจรอ้างอิงแรงดันได้รับการพัฒนาไปอย่างรวดเร็วและถูกนำไปใช้งานกับวงจรเล็กทรอนิกส์อย่างกว้างขวาง เช่น วงจรแปลงสัญญาณแอนะล็อกเป็นดิจิทัล วงจรแปลงสัญญาณดิจิทัลเป็นแอนะล็อก หน่วยความจำชั่วคราว หน่วยความจำแฟลช และอื่นๆอีกมากมาย ซึ่งวงจรดังกล่าวได้ถูกนำไปประยุกต์ใช้งานกับอุปกรณ์หลายประเภท โดยเฉพาะอย่างยิ่งอุปกรณ์พกพาที่ใช้งานในชีวิตประจำวันมีแนวโน้มขนาดเล็กลงและใช้พลังงานต่ำ อุปกรณ์ดังกล่าวล้วนแล้วแต่ประกอบขึ้นจากวงจรรีเลย์ทรอนิกส์ ซึ่งมีสารกึ่งตัวนำเป็นองค์ประกอบหลักและยังคงมีข้อจำกัดในการทำงานอยู่หลายประการ เช่น การทำงานด้านอุณหภูมิ และได้พยายามแก้ไขข้อจำกัดดังกล่าวด้วยเทคนิคการชดเชยอุณหภูมิแบบต่างๆ ในวงจรอ้างอิงแรงดันก็เช่นเดียวกัน ได้มีการพัฒนาอย่างต่อเนื่อง ให้วงจรอ้างอิงแรงดันรองรับการทำงานของอุณหภูมิในช่วงกว้าง ด้วยเทคนิคการออกแบบวงจรกิจักกำเนิดกระแส  $I_{CTAT}$  (complementary to absolute temperature: CTAT) และ  $I_{PTAT}$  (proportional to absolute temperature: PTAT) โดยใช้เทคนิคการรวมกระแสแบบแยกส่วน ซึ่งการรวมกระแสแบบแยกส่วนนั้นทำให้การทำงานของวงจรมีความซับซ้อน อีกทั้งยังต้องอาศัยวงจรสแตร์ทอัพจากภายนอกส่งผลให้สิ้นเปลืองอุปกรณ์ค่อนข้างมากและไม่สามารถปรับระดับแรงดันอ้างอิงที่เอาต์พุตได้

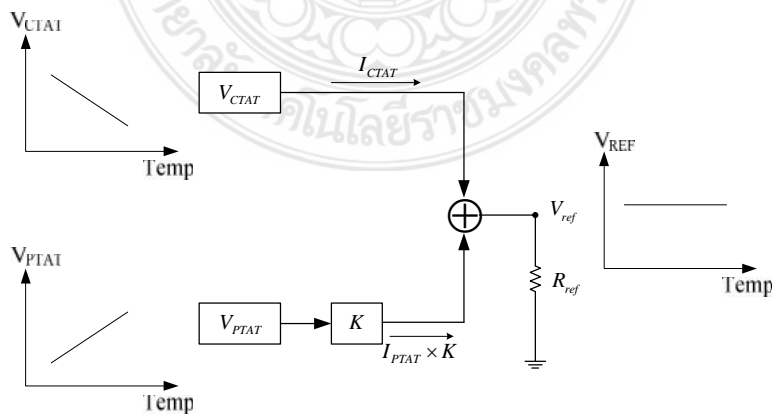
ดังนั้นบทความนี้ จึงได้นำเสนอการออกแบบวงจรอ้างอิงแรงดันแบบซีมอส โดยอาศัยเทคนิคการรวมกระแสแบบใหม่ โดยการออกแบบวงจรกิจักกำเนิดกระแส  $I_{CTAT}$  และ  $I_{PTAT}$  ให้สามารถรวมเป็นกระแสอ้างอิงเพียงโหนดเดียว จากนั้นผลรวมของกระแสทั้งสองจะถูกสะท้อน ไปยังเอาต์พุตเพื่อสร้างแรงดันอ้างอิง ในส่วนวงจรสแตร์ทอัพมีการออกแบบให้รวมอยู่ในวงจรกิจักกำเนิดกระแส  $I_{CTAT}$  โดยอาศัยมอสทรานซิสเตอร์เพียงตัวเดียว ด้วยเทคนิคการออกแบบนี้ทำให้วงจรอ้างอิงแรงดันแบบซีมอสสามารถรองรับการเปลี่ยนแปลงอุณหภูมิในช่วงกว้างและลดจำนวนอุปกรณ์ในวงจรลงได้ซึ่งเป็นการลดต้นทุนการผลิต ส่งผลให้มีอัตราสิ้นเปลืองกำลังงานลดลง อีกทั้งยังสามารถปรับระดับแรงดันอ้างอิงที่เอาต์พุตได้

## 2. วิธีการทดลอง

### 2.1 หลักการและการทำงานของวงจร

#### 2.1.1 หลักการของวงจรอ้างอิงแรงดันแบบซีมอส

หลักการทำงานของวงจรอ้างอิงแรงดันแบบซีมอสนั้นสามารถพิจารณาได้จากรูปที่ 1



รูปที่ 1 บล็อกไดอะแกรมวงจรอ้างอิงแรงดันแบบซีมอส

กระแส  $I_{ref}$  เกิดจากผลรวมของวงจรถูกกำเนิดแรงดันที่มีสัมประสิทธิ์เป็นลบต่ออุณหภูมิ ( $V_{CTAT}$ ) และวงจรถูกกำเนิดแรงดันที่มีสัมประสิทธิ์เป็นบวกต่ออุณหภูมิ ( $V_{PTAT}$ ) มีค่าประมาณ  $-2 \text{ mV}/^{\circ}\text{C}$  และ  $0.086 \text{ mV}/^{\circ}\text{C}$  ตามลำดับ เพื่อให้ผลรวมของแรงดันทั้งสองมีสัมประสิทธิ์ต่ออุณหภูมิเท่ากับศูนย์ ในส่วนของแรงดัน  $V_{PTAT}$  นั้นจะต้องถูกคูณด้วยเกณฑ์ขยาย  $K$  ที่มีการกำหนดค่าที่เหมาะสมพิจารณาได้จากสมการที่ 1

$$\frac{\partial V_{CTAT}}{\partial T} + \frac{\partial KV_{PTAT}}{\partial T} \cong 0 \quad (1)$$

จากรูปที่ 1 กระแส  $I_{CTAT}$  และ  $I_{PTAT}$  เป็นกระแสที่เกิดจากแรงดัน  $V_{CTAT}$  และ  $V_{PTAT}$  ถูกนำมารวมกันเป็นกระแสอ้างอิง  $I_{ref}$  พิจารณาได้ดังสมการที่ 2

$$I_{ref} = I_{CTAT} + KI_{PTAT} \quad (2)$$

และสามารถกำหนดแรงดันอ้างอิงได้โดยการเปลี่ยนค่าความต้านทาน  $R_L$  สามารถพิจารณาได้จาก

$$V_{ref} = I_{ref} R_L \quad (3)$$

จากสมการที่ 3 จะเห็นว่าแรงดันอ้างอิง  $V_{ref}$  เป็นค่าคงที่ มีผลกระทบต่ำจากการเปลี่ยนแปลงของอุณหภูมิ ถึงแม้จะมีการปรับเปลี่ยนค่าความต้านทาน เนื่องจากค่าความต้านทานถูกกำหนดให้เป็นค่าคงที่ ซึ่งไม่มีผลต่อการเปลี่ยนแปลงอุณหภูมิพิจารณาได้จากสมการที่ 4

$$\frac{\partial R_L}{\partial T} = 0 \quad (4)$$

เมื่อ  $T$  คือ อุณหภูมิ(Temperature)

## 2.2 วิเคราะห์การทำงานของวงจรถูก

วงจรถูกอ้างอิงแรงดันแบบซีมอสที่นำเสนอแสดงในรูปที่ 2 อาศัยเทคนิคการรวมกระแสแบบใหม่ ด้วยวิธีการกำเนิดกระแสที่มีสัมประสิทธิ์เป็นลบและบวกต่ออุณหภูมิ จากนั้นกระแสทั้งสองถูกรวมเป็นกระแสอ้างอิง และถูกสะท้อนไปยังเอาต์พุตเพื่อสร้างแรงดันอ้างอิง ที่มีผลกระทบต่ำจากการเปลี่ยนแปลงอุณหภูมิ

### 2.2.1 วิเคราะห์การทำงานของวงจรถูก $V_{CTAT}$

ในการกำเนิดแรงดันที่มีสัมประสิทธิ์เป็นลบต่ออุณหภูมิ  $V_{CTAT}$  นั้นถูกกำเนิดจากแรงดันตกคร่อมขาเกต-ซอร์ท ของมอสทรานซิสเตอร์  $M_1$  ซึ่งถูกกำหนดให้ทำงานอยู่ในช่วง weak inversion โดยกำหนดให้

$$V_{gs_{M_1}} < V_{th} \quad (5)$$

โดย  $V_{th}$  คือ ค่าแรงดันขีดเริ่ม (Threshold Voltage) จากสมการที่ 5 สามารถหาแรงดัน  $V_{gs_{M_1}}$  ได้จาก

$$V_{gs_{M_1}} = nV_T \ln\left(\frac{I_{ds1} \cdot L_1}{I_t \cdot W_1}\right) + V_{th} \quad (6)$$

และแรงดันความร้อน

$$V_T = \frac{kT}{q} \quad (7)$$

เมื่อ  $V_T$  คือ แรงดันความร้อน (Thermal voltage)

$k$  คือ ค่าคงที่ของ Boltzmann มีค่าเท่ากับ  $1.38 \times 10^{-23}$  J/°K

$q$  คือ ค่าประจุไฟฟ้ามีค่าเท่ากับ  $1.6 \times 10^{-19}$  C

$T$  คือ ค่าอุณหภูมิ (°K)

จากสมการที่ 6 สามารถหากระแส  $I_{ds1}$  ได้เป็น

$$I_{ds1} = I_t \frac{W}{L} e^{\frac{q(V_{gsM1} - V_m)}{nKT}} \quad (8)$$

เมื่อ

$$I_t = 2n \sim_n C_{ox} \left( \frac{kT}{q} \right)^2 \quad (9)$$

โดย  $I_t$  คือ กระแสอิ่มตัว (saturation current) ของมอสทรานซิสเตอร์

$n$  คือ ค่า Slope factor ใน Pspice กำหนดให้มีค่าอยู่ระหว่าง 1.5-2

$\sim_n$  คือ สภาพคล่องตัวของโฮลหรืออิเล็กตรอน (Mobility of hole or electron)

$C_{ox}$  คือ ค่าค่าความจุไฟฟ้าต่อพื้นที่ของเกตออกไซด์ (Electron charge per unit area)

เมื่อนำสมการที่ (7-9) แทนใน (6) จากนั้นหาอนุพันธ์เทียบอุณหภูมิจะได้สมการดังนี้

$$\frac{\partial V_{gsM1}}{\partial T} = \frac{V_{gsM1}}{T} - 2n \frac{k}{q} \quad (10)$$

จากสมการที่ 10 เมื่ออุณหภูมิเพิ่มขึ้นจะส่งผลให้แรงดันที่ตกคร่อมขาเกต-ซอร์ท มีค่าลดลง และกระแส  $I_{CTAT}$  หรือ  $I_{D2}$  มีค่าลดลงด้วย สามารถพิจารณาได้จาก

$$I_{CTAT} = I_{D2} = \frac{V_{gsM1}}{R_1} \quad (11)$$

### 2.2.2 วิเคราะห์การทำงานวงจร $V_{PTAT}$

วงจร  $V_{PTAT}$  อาศัยการไหลของกระแส  $I_{D3}$  ผ่าน  $M3$  ไปยัง  $R_2$  ซึ่งการทำงานของมอสทรานซิสเตอร์อยู่ในช่วง weak inversion จากรูปที่ 2 สามารถกำหนดได้ดังนี้

$$V_{R_2} = V_{gsM4} - V_{gsM3} \quad (12)$$

และ

$$V_{R_2} = nV_T \ln \frac{I_{D4}}{I_{I4}} - nV_T \ln \frac{I_{D3}}{mI_{I3}} \quad (13)$$

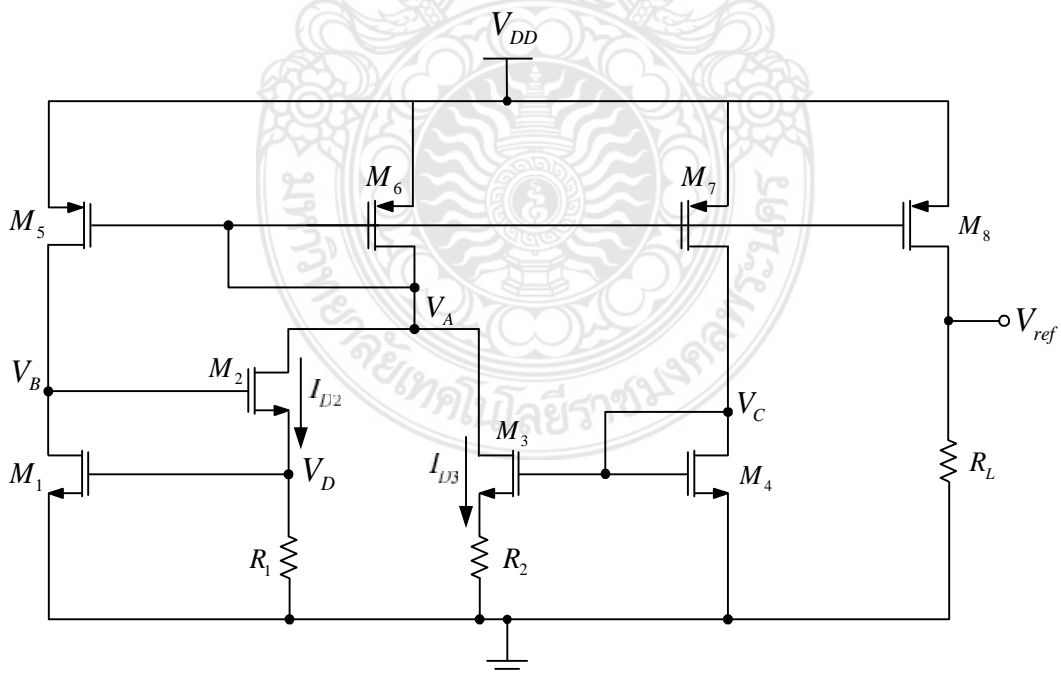
โดยค่า  $m$  คือค่าอัตราส่วนของ W/L (Aspect ratio) ของมอสทรานซิสเตอร์ระหว่าง M3 กับ M4 และสามารถหาแรงดันตกคร่อม  $R_2$  ได้เป็น

$$V_{R_2} = n \frac{kT}{q} \ln m \quad (14)$$

จากสมการที่ 14 จะเห็นว่าแรงดันที่ตกคร่อม  $V_{R_2}$  มีค่าแปรผันตรงกับลอการิทึมของ  $m$  นั่นคือเมื่อลอการิทึมเพิ่มขึ้นแรงดัน  $V_{R_2}$  ก็จะเพิ่มขึ้นตามการเพิ่มของลอการิทึม สามารถจัดให้อยู่ในรูปแบบของกระแส  $I_{PTAT}$  ได้เป็น

$$I_{PTAT} = I_{D3} = \frac{nkT}{R_2 q} \ln m \quad (15)$$

จากสมการที่ 15 กระแส  $I_{PTAT}$  ถูกคูณด้วยเกนที่ขยาย  $K$  ซึ่งมีค่า  $\frac{\ln m}{R_2} = K$  เป็นพารามิเตอร์ที่สำคัญในการปรับเกนที่ขยายของกระแส  $I_{PTAT}$  เพื่อให้กระแส  $I_{PTAT}$  มีค่าเหมาะสมกับกระแส  $I_{CTAT}$



รูปที่ 2 วงจรอ้างอิงแรงดันแบบซีมอสที่นำเสนอ

### 2.2.3 การเกิดกระแสและแรงดันอ้างอิง

จากวงจรรูปที่ 2 เห็นได้ว่ากระแสอ้างอิงเกิดจากผลรวมของกระแส  $I_{CTAT}$  หรือ  $I_{D2}$  และ  $I_{PTAT}$  หรือ  $I_{D3}$  ที่  $M_6$  จากนั้นกระแสอ้างอิงจะถูกสะท้อนจากมอสทรานซิสเตอร์  $M_6$  ไปยัง  $M_8$  เพื่อสร้างแรงดันอ้างอิง ซึ่งสามารถปรับระดับของแรงดันอ้างอิงได้โดยการกำหนดค่าความต้านทาน  $R_L$  พิจารณาจากรูปที่ 2 จะได้

$$I_{ref} = I_{CTAT} + I_{PTAT} \quad (16)$$

นำสมการที่ 11 และ 15 แทนในสมการที่ 16 ได้

$$I_{ref} = \frac{V_{gsM1}}{R_1} + \frac{nV_T}{R_2} \ln m \quad (17)$$

จากสมการที่ 17 คือกระแสอ้างอิงของวงจรที่นำเสนอซึ่งประกอบด้วย  $I_{CTAT}$  และ  $I_{PTAT}$  ผลรวมของกระแสทั้งสองถูกออกแบบให้มีสัมประสิทธิ์ต่ออุณหภูมิใกล้เคียงศูนย์พิจารณาได้จาก

$$\frac{\partial I_{ref}}{\partial T} \cong 0 \quad (18)$$

เมื่อ  $T$  คือ อุณหภูมิ(Temperature)

จากสมการที่ 17 สามารถหาแรงดันอ้างอิงได้ดังนี้

$$V_{ref} = I_{ref} R_L \quad (19)$$

จากสมการที่ 19 ได้แรงดันอ้างอิงที่มีการชดเชยอุณหภูมิและยังสามารถปรับระดับของแรงดันได้โดยการกำหนดค่าความต้านทาน  $R_L$  ซึ่งไม่มีผลต่อการเปลี่ยนแปลงอุณหภูมิดังแสดงในสมการที่ 4

## 2.3 การทำงานของวงจรสตาร์ทอัพ

การทำงานของวงจรสตาร์ทอัพสำหรับวงจรอ้างอิงแรงดันแบบซีมอส ได้ออกแบบโดยกำหนดให้มอสทรานซิสเตอร์  $M_2$  เพียงตัวเดียวทำหน้าที่สตาร์ทอัพเพื่อให้วงจรเริ่มการทำงานในช่วงเริ่มต้น ซึ่งถูกกำหนดให้ทำงานในช่วงอิ่มตัว (Saturation region) ในช่วงเริ่มแรกของการจ่ายแรงดันให้กับวงจรนั้น ที่โหนด  $V_B$  จะมีศักย์ทางไฟฟ้าเสมือนกราวด์ จากนั้นแรงดันที่โหนด  $V_B$  จะเพิ่มขึ้น จนกระทั่งแรงดันเกต-ซอร์ทของ  $M_2$  มีค่ามากกว่าแรงดันขีดเริ่ม ( $V_{gsM2} > V_{th}$ ) ซึ่งส่งผลให้  $M_2$  นำกระแสสามารถพิจารณาได้ดังนี้

$$I_{D2} = \sim_n C_{ox} \frac{W}{2L} (V_{gsM2} - V_{th})^2 \quad (20)$$

จากนั้นกระแสดังกล่าวจะถูกส่งผ่าน  $R_1$  ทำให้เกิดแรงดันตกคร่อม  $R_1$  ซึ่งมีค่าเท่ากับแรงดันตกคร่อมขาเกต-ซอร์ท ของ  $M_1$  ( $V_{gsM1}$ ) หรือ  $V_{CTAT}$  ซึ่งมีสัมประสิทธิ์เป็นลบต่ออุณหภูมิมีค่าประมาณ  $-2 \text{ mV}/^\circ\text{C}$  จากนั้นกระแส  $I_{D2}$  จะส่งผลให้  $M_6$  เริ่มนำกระแส และถูกสะท้อนไปยัง  $M_7$  ทำให้เกิดแรงดันตกคร่อมที่โหนด  $V_C$  หรือ  $V_{gsM4}$  แรงดันดังกล่าวถูกกำหนดให้มีความน้อยกว่าแรงดันขีดเริ่ม ( $V_{th}$ ) ส่งผลให้มอสทรานซิสเตอร์  $M_4$  ทำงานในช่วง

weak inversion ทำให้เกิดกระแส  $I_{D4}$  จากนั้นกระแสดังกล่าวจะถูกสะท้อนไปยัง  $M_3$  ทำให้เกิด  $I_{D3}$  หรือ  $I_{PTAT}$  ดังสมการที่ 15 จากลำดับการทำงานของวงจรที่ได้กล่าวมาข้างต้นส่งผลให้วงจรสามารถทำงานได้อย่างต่อเนื่อง

### 3. ผลการทดลองและวิจารณ์ผล

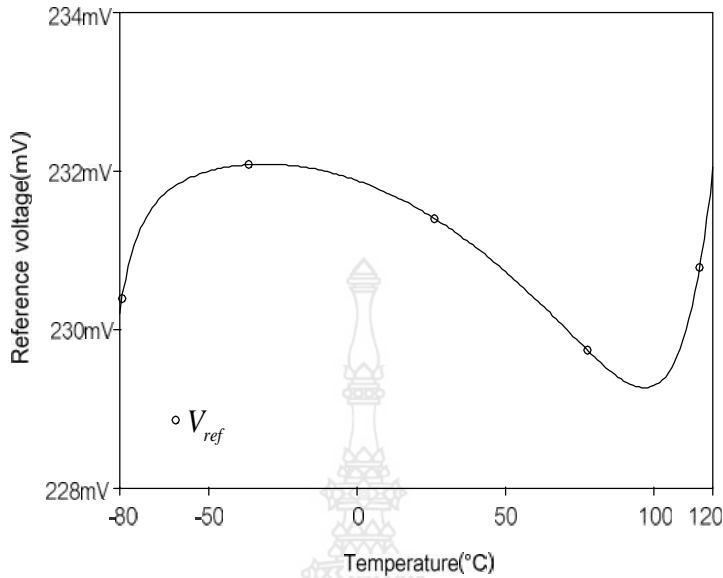
#### 3.1 ผลการจำลองการทำงานของวงจร

ผลการทดลองการทำงานของวงจรอ้างอิงแรงดันแบบซีมอสที่นำเสนอตั้งแสดงในรูปที่ 2 ได้ทำการจำลองการทำงานของวงจรโดยใช้โปรแกรม PSPICE เทคโนโลยีซีมอสขนาด 0.5 ไมครอน EKV 2.6 และได้กำหนดพารามิเตอร์ต่างๆ รวมถึงค่าความต้านทานดังตารางที่ 1

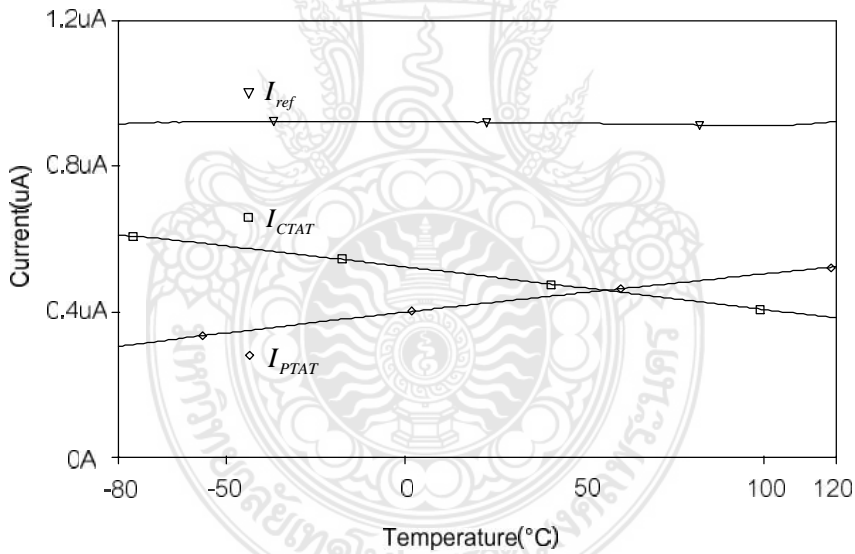
ตารางที่ 1 อัตราส่วน W/L ของมอสทรานซิสเตอร์ และค่าความต้านทานที่ใช้ในวงจร

Transistor	W/L( $\mu\text{m}/\mu\text{m}$ )
$M_1$ - $M_4$	50 / 5
$M_5$ - $M_8$	5 / 5
Resistor	$k\Omega$
$R_1$	1400
$R_2$	230
$R_3$	250
Aspect ratio	
$m$	15

จากรูปที่ 3 แสดงถึงระดับแรงดันอ้างอิง ( $V_{ref}$ ) ของวงจรที่นำเสนอมีค่าประมาณ  $231 \pm 2\text{mV}$  โดยการเปลี่ยนแปลงอุณหภูมิทดสอบจาก  $-80^\circ\text{C}$  ถึง  $120^\circ\text{C}$  ที่แหล่งจ่ายแรงดันไฟเลี้ยง  $V_{DD}=2\text{V}$  จะเห็นได้ว่าแรงดันอ้างอิงของวงจรมีการเปลี่ยนแปลงน้อยมากเพียง  $\pm 2\text{mV}$  เท่านั้น ผลการทดสอบแรงดันอ้างอิงที่ได้รับของวงจรที่นำเสนอแสดงให้เห็นถึงความสามารถในการรักษา ระดับแรงดันอ้างอิงของวงจรให้คงที่ ในขณะที่มีการเปลี่ยนแปลงอุณหภูมิในช่วงกว้าง



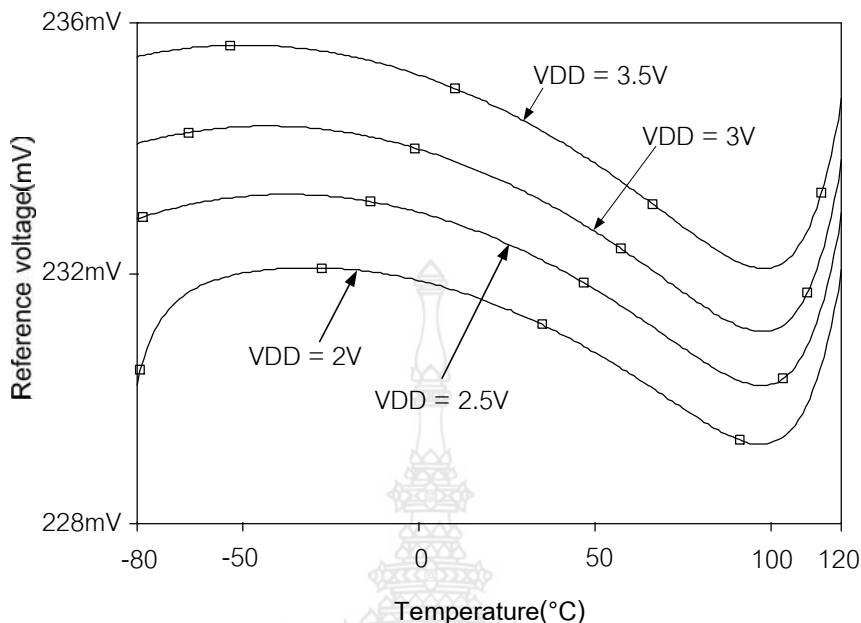
รูปที่ 3 แรงดันอ้างอิงเมื่อมีการเปลี่ยนแปลงอุณหภูมิ



รูปที่ 4 ผลการเปลี่ยนแปลงของกระแส  $I_{CTAT}$ ,  $I_{PTAT}$  และ  $I_{ref}$  เมื่ออุณหภูมิมีการเปลี่ยนแปลง

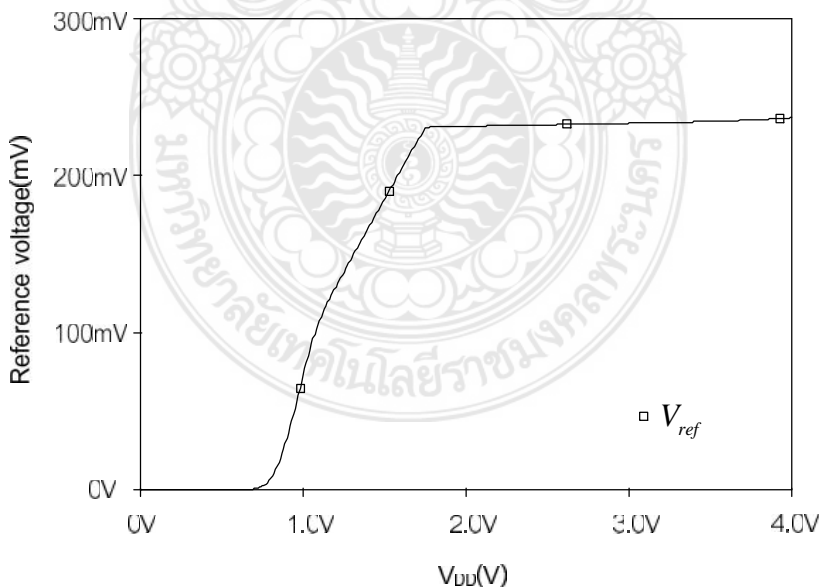
จากรูปที่ 4 แสดงถึงกระแส  $I_{CTAT}$  และ  $I_{PTAT}$  ซึ่งมีสัมประสิทธิ์เป็นลบและเป็นบวกต่ออุณหภูมิตามลำดับ โดยที่กระแส  $I_{ref}$  เกิดจากผลรวมของกระแสทั้งสองซึ่งมีผลกระทบต่ำจากการเปลี่ยนแปลงอุณหภูมิ จากนั้นกระแส  $I_{ref}$  จะถูกสะท้อนไปยังมอสทรานซิสเตอร์  $M_8$  เพื่อกำหนดแรงดันอ้างอิง





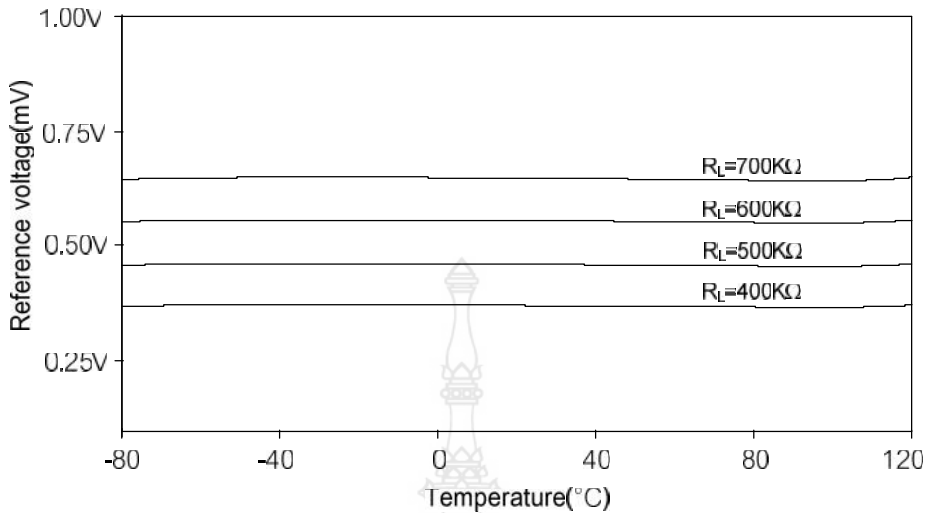
รูปที่ 5 แรงดันอ้างอิงเมื่ออุณหภูมิที่มีแหล่งจ่ายแรงดัน 2V, 2.5V, 3V และ 3.5V

จากรูปที่ 5 แสดงให้เห็นถึงแรงดันอ้างอิงที่ระดับแรงดันไฟเลี้ยงต่างๆ เห็นได้ว่าเมื่อแรงดันไฟเลี้ยงเพิ่มขึ้นจะส่งผลให้ระดับแรงดันอ้างอิงเปลี่ยนแปลงเพียงเล็กน้อยเท่านั้น แต่อย่างไรก็ตามวงจรยังคงกำเนิดแรงดันอ้างอิงที่มีผลกระทบต่ำจากการเปลี่ยนแปลงอุณหภูมิ ถึงแม้จะมีการเปลี่ยนแปลงระดับแหล่งจ่ายไฟเลี้ยง



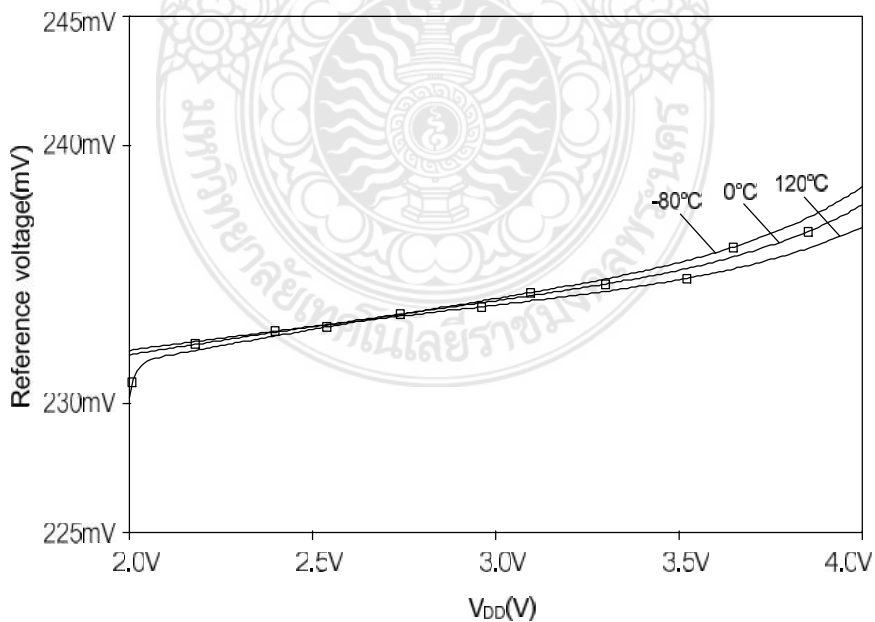
รูปที่ 6 สถานะการทำงานของวงจรที่แหล่งจ่าย 0V ถึง 4V

จากรูปที่ 6 แสดงให้เห็นว่าวงจรสามารถเริ่มทำงานที่ระดับแหล่งจ่ายไฟเลี้ยง 1.8V ถึง 4V โดยแรงดันอ้างอิงของวงจรถูกออกแบบให้มีค่าประมาณ 231mV และแรงดันอ้างอิงมีเปลี่ยนแปลงประมาณ 3mV/V ที่อุณหภูมิห้อง แสดงให้เห็นว่าวงจรยังคงรักษาเสถียรภาพได้ดี ถึงแม้ว่าจะมีการเปลี่ยนแปลงระดับแรงดันไฟเลี้ยง



รูปที่ 7 ผลการเปลี่ยนแปลงระดับแรงดันอ้างอิงเมื่อปรับเปลี่ยนค่าความต้านทาน  $R_L$  ที่  $V_{DD}=2V$

จากรูปที่ 7 แสดงถึงผลการจำลองการทำงานของวงจรโดยการเปลี่ยนแปลงค่าความต้านทาน ( $R_L$ ) เพื่อปรับระดับแรงดันอ้างอิง โดยทำการทดสอบในช่วงอุณหภูมิจาก  $-80^{\circ}C$  ถึง  $120^{\circ}C$  ค่าความต้านทานที่ได้ทำการทดสอบมีค่าแตกต่างกันที่  $R_L=400k\Omega$ ,  $500k\Omega$ ,  $600k\Omega$  และ  $700k\Omega$  ระดับแรงดันอ้างอิงมีค่าเท่ากับ  $369mV$ ,  $461mV$ ,  $554mV$  และ  $645mV$  ตามลำดับ เห็นได้ว่าวงจรอ้างอิงแรงดันแบบซิมอสที่นำเสนอ นั้นสามารถปรับระดับแรงดันอ้างอิงได้โดยการเปลี่ยนแปลงค่าความต้านทาน ( $R_L$ ) โดยไม่ส่งผลกระทบต่อการรักษากระดับแรงดันอ้างอิง ในขณะที่มีการเปลี่ยนแปลงอุณหภูมิในช่วงกว้าง แสดงให้เห็นถึงประสิทธิภาพการทำงานของวงจรได้เป็นอย่างดี



รูปที่ 8 แรงดันอ้างอิงที่มีการเปลี่ยนระดับแหล่งจ่ายแรงดันไฟเลี้ยงที่อุณหภูมิทดสอบ  $-80^{\circ}C$ ,  $0^{\circ}C$  และ  $120^{\circ}C$

จากรูปที่ 8 ผลกระทบต่อระดับแรงดันอ้างอิง ซึ่งทดสอบโดยการเปลี่ยนแปลงระดับแหล่งจ่ายไฟเลี้ยงระหว่าง 2V ถึง 4V และอุณหภูมิทดสอบที่  $-80^{\circ}\text{C}$ ,  $0^{\circ}\text{C}$  และ  $120^{\circ}\text{C}$  เห็นได้ชัดแล้วว่าแรงดันอ้างอิงมีการเปลี่ยนแปลงเพียงเล็กน้อย โดยที่ระดับแรงดันอ้างอิงมีค่าประมาณ 235mV มีการเปลี่ยนแปลงประมาณ  $\pm 5\text{mV}$  เท่านั้น แสดงให้เห็นถึงประสิทธิภาพของวงจรสามารถทำงานในสภาวะที่มีการเปลี่ยนแปลงทั้งอุณหภูมิและแหล่งจ่ายไฟเลี้ยงได้เป็นอย่างดี

ในตารางที่ 2 แสดงการเปรียบเทียบการทำงานของวงจรอ้างอิงแรงดันแบบซีมอสที่นำเสนอกับงานวิจัยอื่นๆ

ตารางที่ 2 การเปรียบเทียบการทำงานของวงจรกับงานวิจัยอื่นๆ

Voltage reference design	Ref.[3]	Ref.[4]	Ref.[5]	This Work
Supply Voltage	0.9V to 2.5V	0.9V to 4V	1.4V to 3V	2V to 4V
Number of transistors and resistors	11/3	13/0	10/3	8/3
Power consumption	3.3 $\mu\text{W}$	-	-	7.37 $\mu\text{W}$
Temperature range( $^{\circ}\text{C}$ )	-20 to 120	-50 to 100	0 to 100	-80 to 120
Technology	0.18 $\mu\text{m}$ TSMC	0.35 $\mu\text{m}$ ASM	0.6 $\mu\text{m}$ ASM	0.5 $\mu\text{m}$ EKV

#### 4. สรุป

บทความนี้ได้นำเสนอการออกแบบวงจรอ้างอิงแรงดันแบบซีมอส โดยอาศัยเทคนิคการรวมกระแสแบบใหม่ เพื่อสร้างแรงดันอ้างอิงที่มีผลกระทบต่ำจากการเปลี่ยนแปลงอุณหภูมิและในส่วนวงจรสตาร์ทอัพได้มีการออกแบบให้รวมอยู่ในวงจร  $I_{CTAT}$  โดยอาศัยมอสทรานซิสเตอร์เพียงตัวเดียว โดยยึดเทคนิคการรวมกระแสแบบแยกส่วนนั้นทำให้การทำงานของวงจรมีความซับซ้อน อีกทั้งยังต้องอาศัยวงจรสตาร์ทอัพจากภายนอกส่งผลให้สิ้นเปลืองอุปกรณ์ค่อนข้างมากและไม่สามารถปรับระดับแรงดันอ้างอิงที่เอาต์พุต ได้ถูกปรับปรุงวงจรซึ่งผลการจำลองการทำงานด้วยโปรแกรม PSPICE ยืนยันได้ว่าวงจรอ้างอิงแรงดันแบบซีมอสที่อาศัยเทคนิคการรวมกระแสแบบใหม่ในงานวิจัยที่นำเสนอนี้ สามารถทำงานในขณะที่มีการเปลี่ยนแปลงอุณหภูมิในช่วงกว้าง รองรับการเปลี่ยนแปลงของแหล่งจ่ายแรงดันระหว่าง 1.8V ถึง 4V และมีอัตราการสิ้นเปลืองพลังงานต่ำ อีกทั้งยังสามารถลดจำนวนอุปกรณ์ลงได้ จึงเหมาะที่จะนำไปพัฒนาเป็นวงจรรวมต่อไป

#### 5. กิตติกรรมประกาศ

ผู้วิจัยขอขอบคุณ อาจารย์ในคณะวิศวกรรมศาสตร์ มหาวิทยาลัยมหาสารคามและอาจารย์ ดร.เวช หงษ์ประสิทธิ์ อาจารย์ประจำสาขาวิศวกรรมคอมพิวเตอร์ คณะวิศวกรรมศาสตร์ มหาวิทยาลัยเทคโนโลยีราชมงคล อีสานวิทยาเขตขอนแก่น ที่ได้ให้ความรู้ ให้คำแนะนำในการทำวิจัย และขอขอบคุณบริษัท พี เอส เอ็น เอ็นจีเนียริ่ง แอนด์ ซัพพลาย จำกัด ที่ได้ให้โอกาสกับผู้วิจัยในการศึกษาต่อ อีกทั้งยังให้ทุนในการศึกษาและการทำวิจัยในครั้งนี้ด้วย

## 6. เอกสารอ้างอิง

- K.P.O'Donnell, X.Chen. 1991. Temperature dependence of semiconductor band gaps. *Applied Physics Letters*. Jun, 1991: 2924–2926.
- S.Hongprasit, K. Sooksood, M. Siripruchyanun. 2004. Low Temperature - sensitive CMOS Instrumentation Amplifier. *The 3rd Prince of Songkla University Engineering Conference*, Dec, 2004: 95-100.
- K.N. Leung, P.K.T. Mok. 2003. A CMOS voltage reference based on weighted  $\Delta V_{GS}$  for CMOS low-dropout linear regulators. *IEEE J Solid-State Circuits*, Jan. 2003: 146–150.
- P. Huang, H. Lin, Member, IEEE, and Y. Lin. 2006. A Simple Subthreshold CMOS Voltage Reference Circuit with Channel-Length Modulation Compensation. *IEEE Transactions on Circuits and Systems-II Express Briefs*, Sept, 2006: 882–885.
- W. Honglai, Z. Xiaoxing, D. Yujie, L. Yingjie, T. Matsuoka, W. Jun, and K. Taniguchi. 2011. A low-voltage low-power CMOS voltage reference based on subthreshold MOSFETs. *Journal of Semiconductors*. Aug, 2011:
- H. Banba, H. Shiga, A. Umezawa, T. Miyaba, T. Tanzawa, S. Atsumi, and K. Sakui. 1999. A CMOS bandgap reference circuit with sub-1-V operation. *IEEE J. Solid-State Circuits*, Jun, 1999: 670–674.
- S. Hongprasit, W. Sa-Ngiamvibool, A. Aurasopon. 2012. Design of Bandgap Core and Startup Circuits for All CMOS Bandgap Voltage Reference. *PRZEGLAD ELEKTROTECHNICZNY (Electrical Review)*, 2012: 277-280.
- W.M. Sansen, F. O. Eynde, M. Steyaert. 1988. A CMOS temperature compensated current reference. *IEEE J. Solid-State Circuits*, Jun, 1988: 821-824.
- B.-S. Song and P. R. Gray. 1982. Threshold-voltage temperature drift in ion-implanted MOS transistors. *IEEE J. Solid-State Circuits*. Apr, 1982: 291-298.
- M.-H. Cheng, Z.-W. Wu, 2005. Low-power low-voltage reference using peaking current mirror circuit. *Electronics Letters*. 2005: 572 – 573.